

УДК 546.128.13

**Л.П. Олексенко**

Київський національний університет ім. Тараса Шевченка  
м. Київ, вул. Володимирська, 64, Україна, 01601

## **НАНОДИСПЕРСНІ МАНГАНУМІСНІ КАТАЛІЗATORI ОКИСНЕННЯ CO**

**Ключові слова:** манганумісні наносистеми, каталітична активність, окиснення CO

Досліджено вплив умов формування нанесених манганумісних наносистем на основі оксидів ( $Al_2O_3$ ,  $SiO_2$ ) і цеолітних (ERI, ZSM-5) носіїв на каталітичну активність їх у реакції окиснення CO. Методами ДТА, РФА, ТЕМ, ЕСДВ та ТПВ-Н<sub>2</sub> встановлено, що неоднакова активність Mn-систем зумовлюється характером розкладу прекурсора, складом і розподіленням активної фази у поверхневому шарі носіїв, розміром наночастинок оксидів мангану, ступенем взаємодії їх із носіями і, як наслідок, різною кількістю активних центрів із високою здатністю до відновлення.

**Вступ**

Останнім часом велику увагу дослідників привертають завдяки своїм унікальним властивостям (оптичним, електронним, магнітним тощо) та перспективам застосування системи, що містять наночастинки [1–3]. Перехід від мікрокристалічних матеріалів до наноматеріалів призводить зокрема до різкого збільшення чутливості газових сенсорів [4]. Розмірний ефект значною мірою впливає й на активність нанесених систем у гетерогенно-каталітичних процесах, наприклад у реакції окиснення CO [5]. Слід зазначити, що нанесені системи, які містять d-метали, можуть виявляти різну активність залежно від умов формування їх, природи носія, кількості та розміру частинок нанесеного активного компоненту, розподілення їх та ступеня взаємодії активних центрів із поверхнею носія [6–8]. Вплив зазначених факторів на активність в окисненні CO детально вивчено для каталізаторів на основі металів платинової групи (Pt, Pd) [9]. Системи, що містять як нанесені активні компоненти оксиди d-металів, вивчено меншою мірою. Серед оксидів d-металів одними з найактивніших у реакції окиснення CO є оксиди мангану [10]. Тому метою цієї роботи було встановлення особливостей формування манганумісних систем на основі оксидних і цеолітних носіїв, дослідження морфології їх та складу каталітичного шару, а також впливу ступеня взаємодії активних центрів із носіями на активність Mn-систем в окисненні CO.

**Експериментальна частина**

Для одержання нанесених Mn-систем використовували як носії оксиди  $\alpha$ - $Al_2O_3$ ,  $SiO_2$  («Силохром С-120») та висококремнеземні цео-

літи, що різняться за структурними характеристиками й силікатним модулем ( $\text{SiO}_2/\text{Al}_2\text{O}_3$ ) – ERI (еріоніт) ( $\text{SiO}_2/\text{Al}_2\text{O}_3 = 6$ ) і цеоліт типу пентасил ZSM-5 ( $\text{SiO}_2/\text{Al}_2\text{O}_3 = 42$ ). Питома поверхня носіїв, вимірюя методом теплової десорбції аргона, для  $\alpha\text{-Al}_2\text{O}_3$ ,  $\text{SiO}_2$ , ZSM-5 та ERI становить 12, 112, 245 і  $220 \text{ m}^2/\text{g}$  відповідно. Середній розмір пор для  $\text{SiO}_2$  – 40–45 нм, а для  $\text{Al}_2\text{O}_3$  він більший за 50 нм [11, 12]. Використані висококремнеземні цеоліти різняться за канальною структурою. У каркасі ZSM-5 існує система пор, яка складається з утворених десятичленними кільцями каналів, що перетинаються під прямим кутом [13]. Пориста структура ZSM-5 містить як прямі ( $0,54 \times 0,56 \text{ nm}$ ) каналі, переріз яких має форму майже правильного кола, так і синусоїdalні каналі ( $0,51 \times 0,55 \text{ nm}$ ) еліптичного перерізу. В ERI зигзагоподібні каналі сполучено таким чином, що між ними залишаються великі порожнини розміром  $1,5 \times 0,63 \text{ nm}$ , з'єднані одна з одною восьмичленними кисневими кільцями – вхідними вікнами невеличкого розміру ( $0,36 \times 0,52 \text{ nm}$ ) [13, 14]. Вміст води ( $\Delta m$ ) у зразках немодифікованих носіїв, визначений за даними термогравіметричного аналізу, наведено в табл. 1.

Для приготування манганумісних систем носії таблетували ( $P = 15 \text{ MPa}$ ), подрібнювали й далі використовували фракцію з розміром частинок 0,5–1 мм. Попередню термообробку немодифікованих носіїв не проводили. Нанесені системи, що містять 10 мас.% Mn, одержували методом просочування носіїв розчином

$\text{Mn}(\text{CH}_3\text{COO})_2$ . Формування манганумісних зразків здійснювали в інтервалі температур 20–500 та 20–700 °C при лінійному підвищенні температури зі швидкістю 2,5 °C/хв. Розклад прекурсора вивчали методом ДТА–ДТГ на дериватографі системи Ф. Паулік, Д. Паулік і А. Ердеї (наважка 0,5 г).

Електронні спектри дифузного відбиття (ЕСДВ) реєстрували на спектрометрі UV VIS «Specord M-40» в області 12 000–40 000  $\text{cm}^{-1}$ .

Дослідження каталітичної активності Mn-систем у реакції окиснення CO здійснювали у проточному реакторі в інтервалі температур 20–350 °C у реакційній газовій суміші 1% CO + 20%  $\text{O}_2$  + 78% He з хроматографічним контролем складу реакційної суміші. Наважка зразка становила 0,25 г. Мірою активності каталізаторів була температура, за якої ступінь перетворення CO сягав 100% ( $T_{100}$ ).

Термопрограмоване відновлення воднем (TPV H<sub>2</sub>) нанесених систем здійснювали з хроматографічним контролем у проточній установці за атмосферного тиску з використанням газової суміші 10% H<sub>2</sub> + 90% Ar при лінійній швидкості нагрівання 10 °C/хв.

Фазовий склад та морфологію одержаних манганумісних наносистем досліджували відповідно методами рентгенофазового аналізу на дифрактометрі ДРОН-3 й трансмісійної електронної мікроскопії з використанням електронографії за допомогою мікроскопа ПЕМ-125К «Selmi» за прискорювальної напруги 100 кВ.

Таблиця 1. Термічні характеристики носіїв, манганумісних систем та активність їх при окисненні CO

Носій	$\Delta m, \text{мг}$			$X_{\text{CO}}, \% / T, ^\circ\text{C}$	
	20–150 °C	150–400 °C	20–500 °C		
ERI	11,0	6,8	18,4	98%/410 °C	98%/410 °C
ZSM-5	8,6	4,8	14,6	26%/410 °C	36%/480 °C
$\text{Al}_2\text{O}_3$	3,5	1,5	5,5	13%/410 °C	27%/440 °C
$\text{SiO}_2$	3,0	1,0	4,0	7%/410 °C	9%/424 °C
Зразок	$\Delta m, \text{мг}$		$\Delta T_{\text{форм}}, ^\circ\text{C}$	$T_{100}, ^\circ\text{C}$	
	20–500 °C	20–700 °C		I цикл катаалізу	II цикл катаалізу
Mn–ERI	124,0	125,0	325	286	284
Mn–ZSM-5	110,0	112,0	285	294	289
Mn– $\text{Al}_2\text{O}_3$	91,5	92,0	225	315	315
Mn– $\text{SiO}_2$	68,5	69,0	175	328	330

## Результати дослідження та обговорення їх

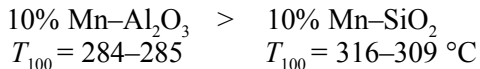
Дослідження активності нанесених систем Mn–Al<sub>2</sub>O<sub>3</sub>, Mn–SiO<sub>2</sub>, Mn–ZSM-5 і Mn–ERI, сформованих в інтервалі температур 20–500 та 20–700 °C, показало, що вищу активність у реакції окиснення CO виявляють Mn-системи, сформовані за температури від 20 до 500 °C.  $T_{100}$  для них становить від 278 до 316 °C. Як видно з рис. 1, у багатоцикловому режимі ро-



Різниця в активності Mn-систем на носіях різної хімічної природи може пояснюватися відмінностями термічного розкладу прекурсора при формуванні кatalізаторів і внаслідок цього різним характером взаємодії активного компонента з поверхнею носіїв та його різною дисперсністю. Зокрема вивчення у роботі [15] впливу структурно-розмірного фактора на каталітичні властивості оксидних наночастинок у реакції глибокого окиснення метану показало, що нанесені кобальтцирконієві оксидні наночастинки, які характеризуються більшою дисперсністю як носія ( $L = 12\text{--}13$  нм), так і активного компонента ( $L \leq 3$  нм), виявляють найвищу активність.

За даними ДТА, розклад прекурсора Mn(CH<sub>3</sub>COO)<sub>2</sub>·4H<sub>2</sub>O відбувається в кілька етапів, про що свідчить наявність трьох екстремумів при 70, 290 та 320 °C на кривій ДТА. Відомо [16], що при термолізі Mn(CH<sub>3</sub>COO)<sub>2</sub>·4H<sub>2</sub>O у вакуумі, в атмосфері інертного газу або в атмосфері водню утворюється оксид манганду MnO. Оскільки ДТА–ДТГ-дослідження здійснювали на повітрі, то MnO, перебуваючи при підвищенні температурі в атмосфері O<sub>2</sub>, може окиснюватися до Mn<sub>2</sub>O<sub>3</sub>, Mn<sub>3</sub>O<sub>4</sub> чи MnO<sub>2</sub> [17]. При розкладі Mn(CH<sub>3</sub>COO)<sub>2</sub> процес окиснення MnO відбувається у два етапи: на кривих ДТА зареєстровано екзотермічні ефекти при 290 та 320 °C, які можуть відповідати утворенню або твердого розчину MnO з надлишковим умістом кисню, або проміжної оксидної сполуки манганду, збагаченої киснем, MnO<sub>x</sub> (1,7 < x < 1,15), та оксиду Mn<sub>2</sub>O<sub>3</sub> (або

боти кatalізатори виявляють стійку активність – температура повного перетворення CO залишається практично незмінною в I і II циклах кatalізу для Mn-систем на основі ZSM-5, Al<sub>2</sub>O<sub>3</sub> та ERI (рис. 1a–e, криві 1, 2). Установлено, що найбільшу активність виявляють цеолітні системи Mn–ERI та Mn–ZSM-5, а найнижчу – Mn–SiO<sub>2</sub>. Ряд активності кatalізаторів ( $T_{\text{форм}} = 20\text{--}500$  °C) з відповідними значеннями температури  $T_{100}$  в I і II циклі кatalізу можна записати так:



суміші оксидів Mn<sub>x</sub>O<sub>y</sub>). За даними ДТА, перетворення Mn(CH<sub>3</sub>COO)<sub>2</sub>·4H<sub>2</sub>O закінчується при 320 °C; в атмосфері повітря при підвищенні температури можливі дальші фазові перетворення отриманих оксидів манганду [16, 17].

Вивчення термічної стійкості та температурних інтервалів формування нанесених систем зі вмістом Mn 10 мас.%, одержаних із Mn(CH<sub>3</sub>COO)<sub>2</sub>, методом ДТА показало, що розклад прекурсора на поверхні досліджених носіїв порівняно з об'ємним ацетатом манганду відбувається за вищої температури – від 370 до 420 °C (рис. 2). Загальні величини втрати маси ( $\Delta m$ ) на кривих ТГ для досліджених кatalізаторів більші, аніж теоретично обчислені, внаслідок видалення із зразків певної кількості фізично сорбованої води й води, що міститься в матриці носіїв. В інтервалі температур 20–500 °C значення  $\Delta m$  для Mn–SiO<sub>2</sub>, Mn–Al<sub>2</sub>O<sub>3</sub>, Mn–ZSM-5 та Mn–ERI становлять 68,5 мг (13,7 мас.%), 91,5 мг (18,3 мас.%), 110 мг (22 мас.%) та 124 мг (24,8 мас.%) відповідно (рис. 2, табл. 1). Слід зазначити, що більші значення  $\Delta m$  зафіксовано для цеолітних Mn-систем, що мають найбільшу активність щодо окиснення CO, при формуванні зразків як до 500, так і до 700 °C. Високу активність зразків Mn–ERI та Mn–ZSM-5 можна пояснити повільним формуванням активної оксидної фази внаслідок розкладу прекурсора в ширшому інтервалі температур ( $\Delta T_{\text{форм}}$ ) (табл. 1). Про це свідчить більш пологий характер кривих ТГ для Mn–ERI та Mn–ZSM-5, зумовлений одночасним розкла-

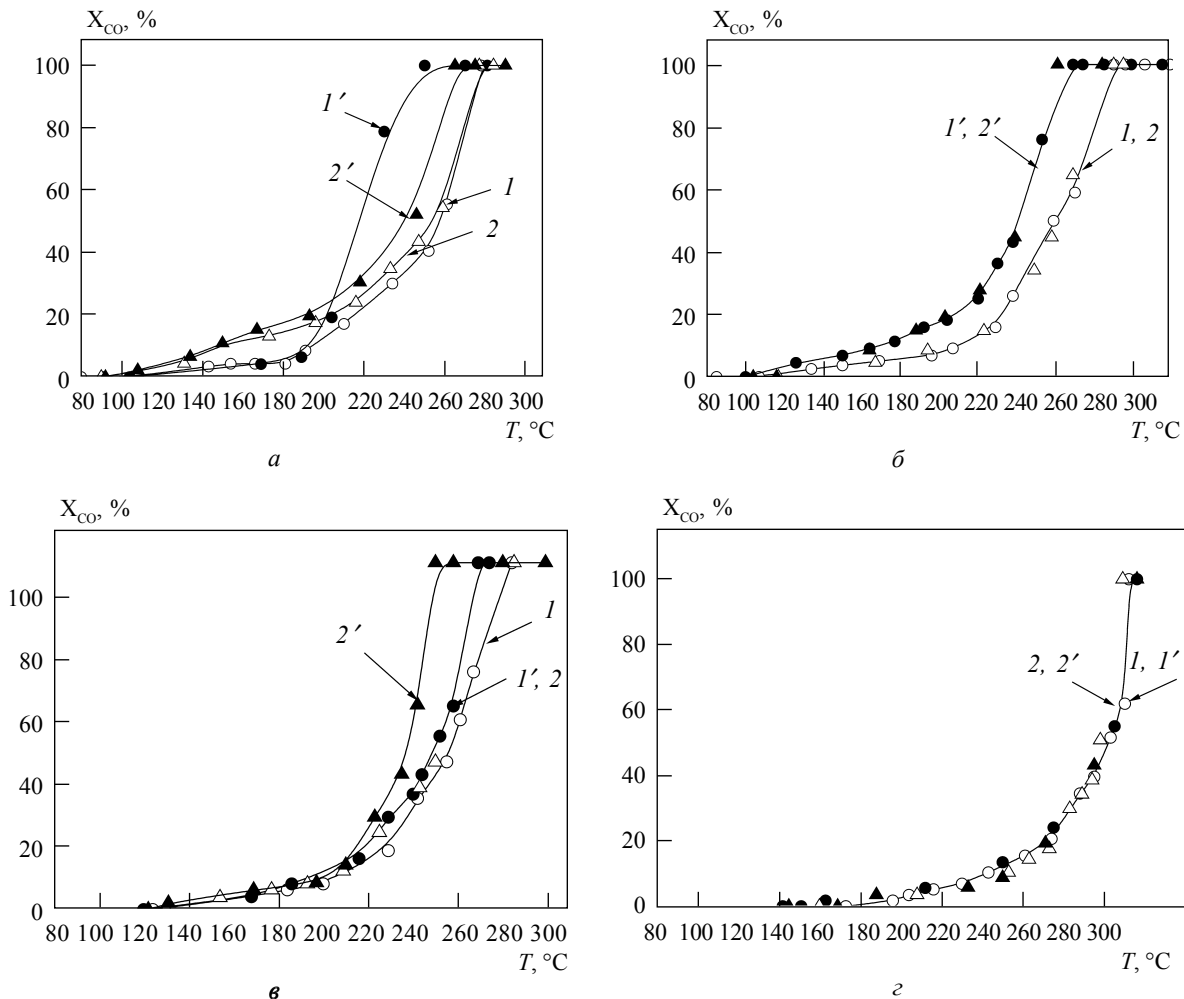


Рис. 1. Температурна залежність ступеня перетворення СО на зразках ( $T_{\text{форм}} = 20\text{--}500^{\circ}\text{C}$ ) Mn-ERI (а); Mn-ZSM-5 (δ); Mn-Al<sub>2</sub>O<sub>3</sub> (ε); Mn-SiO<sub>2</sub> (ζ). 1, 1' – I цикл каталізу; 2, 2' – ІІ цикл каталізу; 1, 2 – підвищення температури; 1', 2' – зниження температури

дом прекурсора й видаленням сорбованої води, порівняно з кривими втрати маси систем на оксидних носіях Mn-Al<sub>2</sub>O<sub>3</sub> й Mn-SiO<sub>2</sub>, на яких зафіксовано чіткі перегини (рис. 2). За даними ДТА, для Mn-ERI й Mn-ZSM-5 температура завершення розкладу прекурсора вища на 40–70 °C, аніж для Mn-Al<sub>2</sub>O<sub>3</sub> та Mn-SiO<sub>2</sub> (табл. 1). Одержані дані свідчать про найменшу швидкість розкладу Mn(CH<sub>3</sub>COO)<sub>2</sub> на поверхні ERI й ZSM-5, що може сприяти утворенню найбільш дисперсних частинок активної фази на їхній поверхні

та спричинювати вищу активність цеолітних Mn-кatalізаторів.

Це узгоджується з результатами ТЕМ-дослідження Mn-систем, яке показало, що у випадку цеолітних систем Mn-ERI та Mn-ZSM-5 реалізується досить рівномірний розподіл дрібно-дисперсних частинок нанесеної оксидної фази, розміри яких змінюються для Mn-ERI та Mn-ZSM-5 у межах 14–36 нм і 22–48 нм відповідно. Хаотичні «вкраплення» (27–43 нм) оксидів манганду в носії спостерігаються в системі

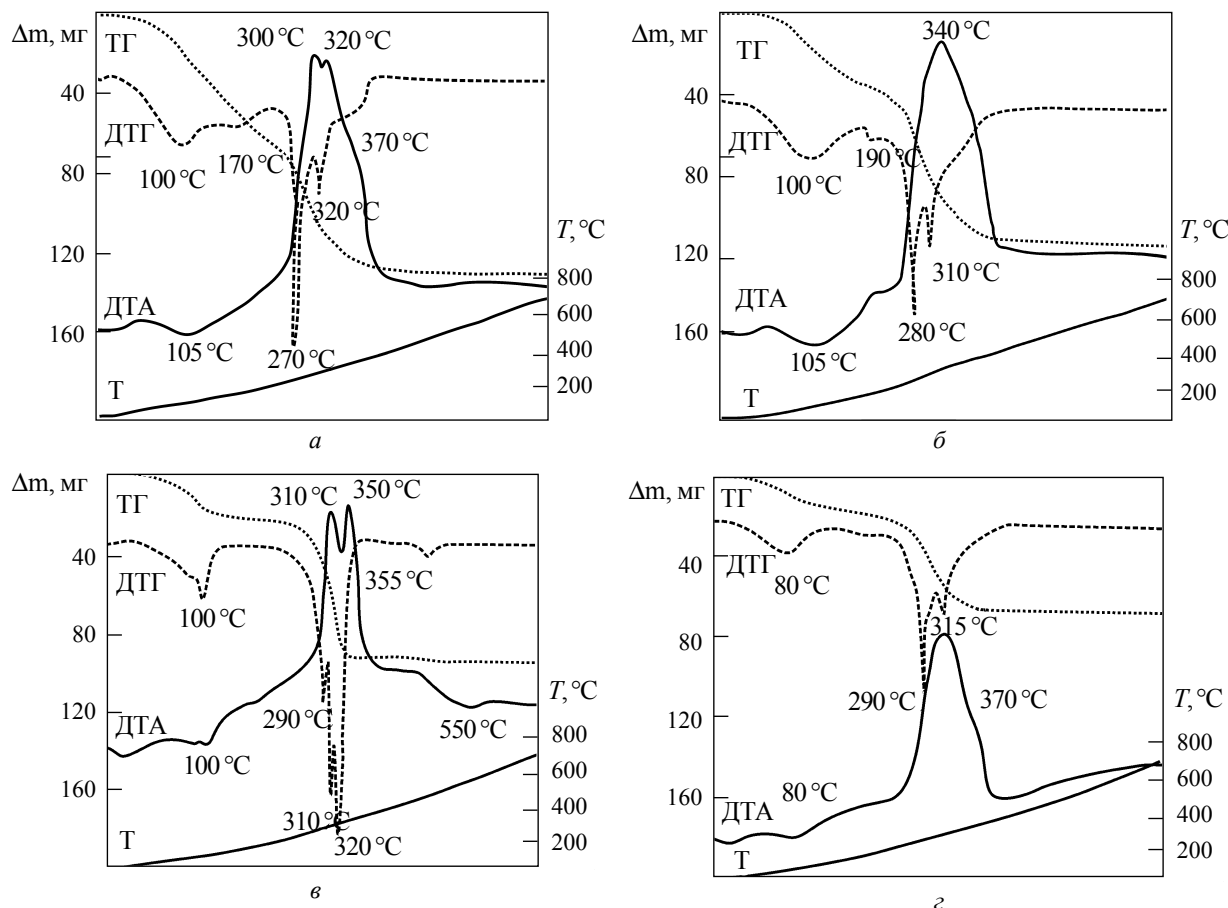


Рис. 2. Температурні та гравіметричні характеристики зразків Mn-ERI (a); Mn-ZSM-5 (b); Mn-Al<sub>2</sub>O<sub>3</sub> (c); Mn-SiO<sub>2</sub> (d) за даними політермічного аналізу

Mn-Al<sub>2</sub>O<sub>3</sub>. Нерівномірний розподіл нанесеної активної фази розміром від 55 до 92 нм зафіковано також для Mn-SiO<sub>2</sub>. Мікрокристали частинок, що являють собою суміш носія й активної фази, в системі Mn-Al<sub>2</sub>O<sub>3</sub> дають точкові електронограми. Для Mn-SiO<sub>2</sub> електронограми містять точкові рефлекси від хаотично розміщених полікристалітів активної фази на розмитих кільцях, обумовлених аморфним станом SiO<sub>2</sub>. Від частинок дрібнодисперсної фази в Mn-ERI та Mn-ZSM-5 зареестровано кільцеві електронограми, хоча в зразках інколи зустрічаються і більші частинки оксидів мангану ( $L_{\max} = 86$  нм), про що свідчать поодинокі точкові рефлекси на кільцевих електронограмах.

Відмінності в активності Mn-систем можна пояснити не лише особливостями формування активної фази на поверхні носіїв, але й природою та складом активних центрів. Відомо, що оксид MnO, одержаний методом термічного розкладу у вакуумі оксалату чи карбонату мангана за температури від 350 до 800 °C, може існувати в активному й неактивному станах; в активному стані MnO здатний окиснюватися киснем повітря вже за кімнатної температури [16]. У досліджених системах окиснення утвореної на поверхні носіїв оксидної фази MnO відбувається за температури понад 170–200 °C. При цьому згідно зі значеннями  $T_{\max}$  екзотермічних піків на кривих ДТА й температурою макси-

мумів на кривих ДТГ в разі активніших зразків значне окиснення оксидної фази реєструється за нижчої температури (рис. 2). При цьому на кривих ТГ для Mn-систем має реєструватися збільшення маси. За даними ДТА встановлено, що для найменш активного Mn–SiO<sub>2</sub> на кривій ТГ відсутнє збільшення маси (рис. 2 $\sigma$ ). Незначне збільшення  $\Delta m$  зареєстровано для Mn–Al<sub>2</sub>O<sub>3</sub> в інтервалі температур 350–425 °C. У разі активніших зразків Mn–ERI та Mn–ZSM-5 збільшення маси на кривих ТГ невиразне та, ймовірно, маскується процесами одночасного видалення сильнозв'язаної цеолітної води. Одержані дані свідчать, що різницю в активності Mn-систем зумовлено поверхневими характеристиками носіїв, особливостями розкладу прекурсора й формування активної фази на носіях, реалізацією часткових структурних перетворень оксидної фази та наявністю певної взаємодії активної оксидної фази з поверхнею носія.

Відомо, що залежно від умов термічної обробки сполук мангану (температури, часу, природи прекурсора тощо) можна одержати оксидні продукти різного складу. Розкладання ацетату мангану на повітрі при 350 °C (0,5 год) веде до утворення Mn<sub>3</sub>O<sub>4</sub> [18]. При підвищенні температури до 500 °C (2 год) під час термолізу Mn(CH<sub>3</sub>COO)<sub>2</sub> утворюється оксид мангану переважно у вигляді Mn<sub>2</sub>O<sub>3</sub> [19].

У поверхневому шарі досліджених Mn-катализаторів, сформованих в інтервалі температур 20–500 °C, утворена активна фаза являє собою суміш оксидів Mn<sub>2</sub>O<sub>3</sub> та Mn<sub>3</sub>O<sub>4</sub>, як свідчать дані рентгенофазового аналізу. Наявність  $\gamma$ -модифікації Mn<sub>2</sub>O<sub>3</sub> [20] із параметрами  $a = 0,810$  нм,  $c = 0,940$  нм і значеннями  $2\theta = 17,99; 28,99; 32,68; 36,22; 37,64; 59,65^\circ$  (ID 06-0540, Cu- $K_{\alpha}$ ) та фази оксиду мангану Mn<sub>3</sub>O<sub>4</sub> з параметрами  $a = 0,580$  нм;  $b = 0,636$  нм;  $c = 0,974$  нм і значеннями  $2\theta = 18,1; 31,92; 36,29; 38,35; 39,27; 47,85; 49,23^\circ$  (ID 16-0350) було встановлено для всіх досліджених зразків.

Про наявність у Mn-системах катіонів мангану в різних ступенях окиснення свідчать також електронні спектри дифузного відбиття. Аналіз ЕСДВ Mn-систем до та після каталізу показав наявність смуг поглинання (СП) при

19800–20000 см<sup>-1</sup>, 28600 см<sup>-1</sup> і 39 200–39700 см<sup>-1</sup>. СП близько 20000 см<sup>-1</sup> відповідають d–d-переходу (<sup>5</sup>E<sub>g</sub> → <sup>5</sup>T<sub>2g</sub>) октаедрично координованих катіонів мангану Mn<sup>3+</sup>, що узгоджується з даними, одержаними для Mn(H<sub>2</sub>O)<sub>6</sub><sup>3+</sup> [21]. СП при 28600 см<sup>-1</sup> можна віднести до октаедрично координованих катіонів Mn<sup>2+</sup> (перехід <sup>6</sup>A<sub>1g</sub> → <sup>4</sup>T<sub>2g</sub>) [21, 22]. В ЕСДВ у спектральній області від 20000 см<sup>-1</sup> для менш активних систем Mn–Al<sub>2</sub>O<sub>3</sub> й Mn–SiO<sub>2</sub> спостерігається значне неселективне поглинання, яке згідно з роботою [22] може бути приписано поглинанню частинками оксиду мангану відносно великого розміру. Для Mn–ZSM-5 неселективне поглинання значно слабше. У випадку найактивнішого Mn–ERI в ЕСДВ досить чітко спостерігається СП в області 20000 см<sup>-1</sup> і при 28000 см<sup>-1</sup>, що може свідчити про відносно більше диспергування активного компонента під час формування каталізатора. Як зазначено в роботі [23], при зменшенні розміру частинок підвищується локалізація вільних носіїв заряду, що веде до зменшення неселективного поглинання. У випадку Mn–ERI і Mn–ZSM-5 рівень поглинання в ЕСДВ в області від 20000 см<sup>-1</sup> значно вищий, аніж у випадку Mn-систем на основі Al<sub>2</sub>O<sub>3</sub> та SiO<sub>2</sub> як до, так і після каталізу.

Зіставлення співвідношень ( $A_1/A_2$ ) різних станів катіонів мангану в ЕСДВ зразків, сформованих в інтервалі температур 20–500 °C, до та після каталізу за площинами відповідних СП ( $A_1$  20000 см<sup>-1</sup> та  $A_2$  28000 см<sup>-1</sup>) показало, що відносна кількість катіонів Mn<sup>3+</sup> (20000 см<sup>-1</sup>) після каталізу для Mn-систем зменшується порівняно з кількістю їх до каталізу: для Mn–ZSM-5 – в 1,7 раза, для Mn–Al<sub>2</sub>O<sub>3</sub> – у 2 рази, для Mn–SiO<sub>2</sub> – у 5 разів. У випадку найактивнішого зразка Mn–ERI відбувається навіть незначне збільшення кількості катіонів Mn<sup>3+</sup> – від 1,5 до 1,9, імовірно, за рахунок утворення додаткових активних центрів унаслідок окиснення катіонів Mn<sup>2+</sup>. У нанесених Mn-системах, сформованих до 500 °C, після каталізу відносний уміст катіонів Mn<sup>3+</sup> зменшується внаслідок відновлення їх під час каталітичної реакції. Різна здатність катіонів Mn<sup>3+</sup> до окисно-відновних перетворень може зумовлювати існування різної кількості

активних центрів у поверхневому шарі катализаторів і, відповідно, різну активність нанесених Mn-систем.

Для вивчення здатності до відновлення нанесених оксидів мангану в манганумісних катализаторах та можливості реалізації певної взаємодії їх із поверхнею носіїв було зареєстровано ТПВ– $H_2$ -спектри. Як видно з рис. 3, всі спектри нанесених Mn-систем мають схожий профіль. З огляду на фазовий склад нанесеної активної фази в досліджених катализаторах і дані робіт [18, 19], згідно з якими оксиди мангану за здатністю до відновлення можна розташувати в такий ряд:  $MnO_2 > Mn_2O_3 > Mn_3O_4 > MnO$ , мак-

симум поглинання водню в ТПВ– $H_2$ -спектрах в області 370 °C можна віднести до відновлення оксиду мангану  $Mn_2O_3$ , що перебуває у високо-дисперсному стані [19] та практично не взаємодіє з поверхнею носіїв.

Завищої температури (400 <  $T$  < 500, °C) відбувається одночасне відновлення міцніше зв'язаних із носіями (або більших за розміром) частинок оксиду  $Mn_2O_3$  й двовимірної дисперсної фази оксиду  $Mn_3O_4$  [18], що існує в поверхневому шарі зразків та утворюється під час відновлення  $Mn_2O_3$ . За температури понад 500 °C, ймовірно, відновлюються тривимірні кристали об'ємної фази  $Mn_3O_4$ , які досить сильно взає-

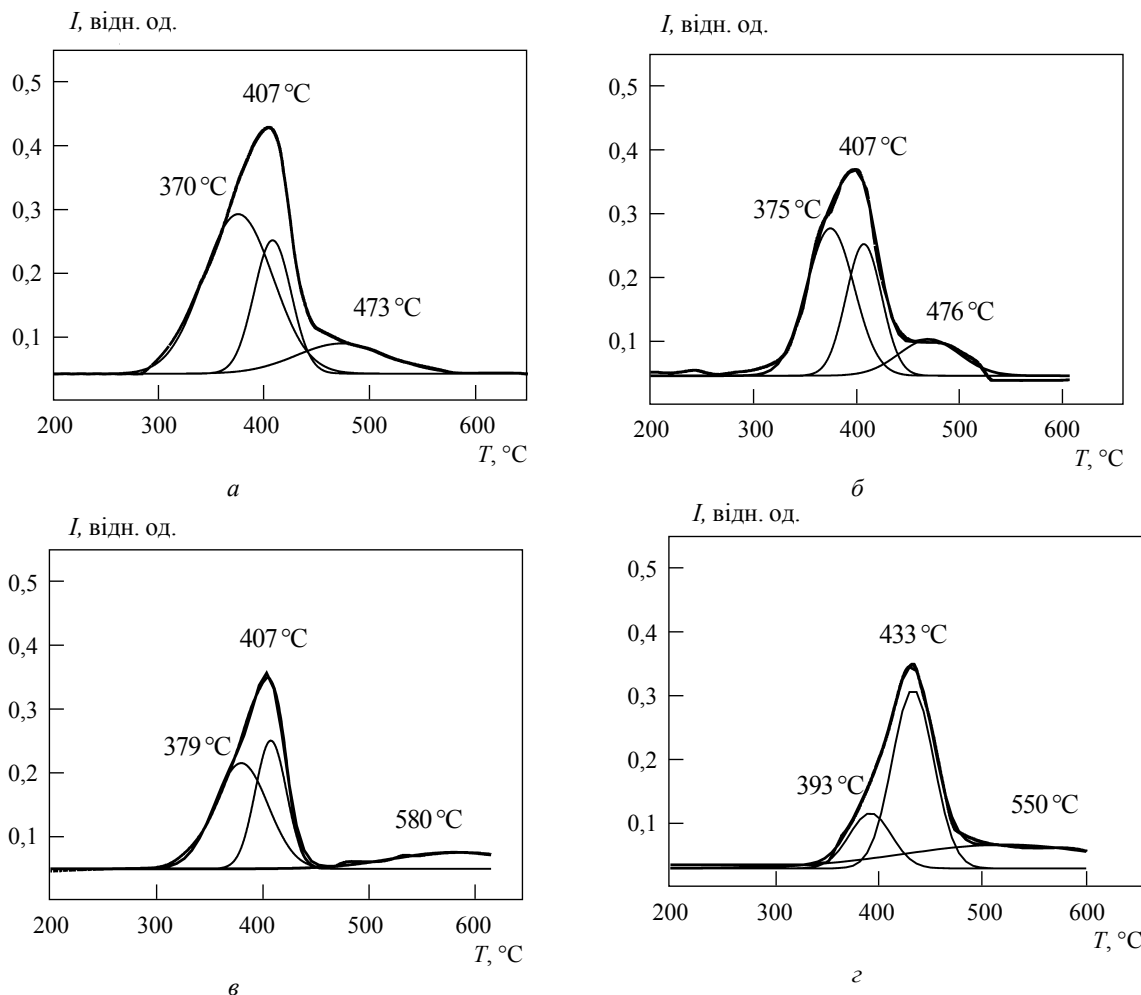


Рис. 3. Спектри ТПВ зразків Mn–ERI (a); Mn–ZSM-5 (б); Mn–Al<sub>2</sub>O<sub>3</sub> (в); Mn–SiO<sub>2</sub> (г)

модіють із носіями. При відновленні нанесених оксидних сполук мангану в інтервалі температур 300–600 °C утворюється оксид MnO, який, своєю чергою, має порівняно низьку здатність до відновлення. Слід зазначити, що відновлення нанесеної оксидної фази завершується до 600 °C для всіх досліджених мanganумісних систем (рис. 3).

Зіставлення активності Mn-кatalізаторів і відносного вмісту оксидів мангану, які мають різну здатність до відновлення на поверхні досліджених носіїв, показало: вищу активність мають Mn–ERI й Mn–ZSM-5, у поверхневому шарі яких міститься відносно більша кількість оксиду мангану Mn<sub>2</sub>O<sub>3</sub>, що відновлюється до 400 °C ( $T_{\alpha}^{\max} < 400$  °C) та практично не взаємодіє з поверхнею носія.

У випадку Mn–Al<sub>2</sub>O<sub>3</sub> й Mn–SiO<sub>2</sub>, які мають нижчу активність порівняно з цеолітними Mn-системами, у ТПВ-спектрах, окрім максимумів поглинання водню при  $T_{\alpha}^{\max}$  і  $T_{\beta}^{\max}$ , містяться максимуми поглинання водню з  $T_{\gamma}^{\max} > 500$  °C. Ці максимуми відповідають відновленню частинок об'ємної фази Mn<sub>3</sub>O<sub>4</sub>, які характеризуються значною оксид-оксидною взаємодією з носієм. Наявність у поверхневому шарі оксидних носіїв фази Mn<sub>3</sub>O<sub>4</sub>, яка відновлюється при температурі понад 500 °C, спричинює відносно нижчу активність Mn–Al<sub>2</sub>O<sub>3</sub> та Mn–SiO<sub>2</sub> порівняно з Mn–ERI й Mn–ZSM-5 за рахунок більшої міцності зв'язку кисню в них. Ця форма нанесеного оксиду мангану в Mn-системах практично не бере участі в каталітичному окисненні CO.

Оцінка відносного вмісту  $\alpha$ -,  $\beta$ - та  $\gamma$ -форм мангану на поверхні кatalізаторів, здійснена за площами відповідних максимумів поглинання водню в ТПВ-спектрах, які пропорційні кількості

певної форми іонів мангану в складі оксидної фази на поверхні кatalізатора ( $A_{\alpha}$ ,  $A_{\beta}$ ,  $A_{\gamma}$ ), показала, що найактивніший Mn–ERI містить найбільшу кількість іонів мангану в  $\alpha$ -формі ( $T_{\max} = 370$  °C) (табл. 2).

За даними ТПВ–Н<sub>2</sub> встановлено відповідність між активністю досліджених кatalізаторів і співвідношенням кількості водню, який витрачено на відновлення іонів мангану в  $\alpha$ -формі до загальної кількості водню, потрібного для відновлення  $\beta$ - і  $\gamma$ -форм ( $A_{\alpha}/(A_{\beta}+A_{\gamma})$ ). Okрім цього, нижча температура початку відновлення в ТПВ–Н<sub>2</sub>-спектрах відповідає меншим розмірам частинок нанесених оксидів мангану.

На здатність до відновлення впливають як природа носія, так і умови формування кatalізаторів. Дослідження показало, що при підвищенні температури формування Mn-систем до 700 °C їхня активність дещо знижується. Причиною цього може бути як збільшення розміру частинок активної фази внаслідок часткового спікання їх за такої температури та підвищення ступеня взаємодії оксидів мангану з поверхнею носіїв, так і фазові перетворення нанесених оксидів та збільшення кількості їхніх важковідновлюваних форм у зразках. Оскільки здатність до відновлення нанесеної активної оксидної фази у поверхневому шарі носіїв різна, то й значення  $T_{100}$  та величина підвищення температури повного перетворення CO ( $\Delta T_{100}$ ) для зразків, сформованих до 700 °C, змінюються неоднаково (табл. 1).

Різна активність нанесених систем також залежить від фазового складу оксидів мангану. Зміна фазового складу поверхневого шару зразків, а саме зменшення відносної кількості оксиду Mn<sub>2</sub>O<sub>3</sub> й, відповідно, збільшення кількості фази MnO на поверхні досліджених носіїв, може відбуватися зокрема при підвищенні температу-

Таблиця 2. Характеристики спектрів ТПВ мanganумісних нанорозмірних систем

Зразок	$T_{\alpha}^{\max}$ <400 °C	$T_{\beta}^{\max}$ 400–500 °C	$T_{\gamma}^{\max}$ >500 °C	Вміст форм, %			$\frac{A_{\alpha}}{A_{\beta}+A_{\gamma}}$
				$\alpha$	$\beta$	$\gamma$	
Mn–ERI	370	407; 473	—	59	26; 15	—	1,44
Mn–ZSM-5	375	407; 476	—	50	34; 16	—	1,00
Mn–Al <sub>2</sub> O <sub>3</sub>	379	407	580	48	34	18	0,92
Mn–SiO <sub>2</sub>	393	433	550	16	51	33	0,19

ри формування каталізаторів від 500 до 700 °C. Okрім цього, при температурі близько 670 °C [16] відбувається фазовий перехід оксиду мангана  $\alpha\text{-Mn}_2\text{O}_3 \rightarrow \beta\text{-Mn}_2\text{O}_3$ . Це може породжувати різну зміну активності зразків на поверхні носіїв різної хімічної природи.

Ряд активності манганиумісних систем, сформованіх до 700 °C, зберігається в I та II циклі каталізу й цілковито збігається з рядом активності зразків, сформованих до 500 °C: 10% Mn–ERI > 10% Mn–ZSM-5 > 10% Mn–Al<sub>2</sub>O<sub>3</sub> > > 10% Mn–SiO<sub>2</sub>. Слід зазначити, що за найвищими зареєстрованими ступенями перетворення моноксиду вуглецю ( $X_{CO}$ , %) та його значеннями при 410 °C (табл. 1) аналогічний ряд активності одержано й для немодифікованих носіїв.

## Висновки

Таким чином, під час дослідження було показано, що манганиумісні нанесені системи виявляють досить високу активність у багатоцикловому режимі роботи. За даними ТЕМ, ДТА, ЕСДВ, РФА та ТПВ–Н<sub>2</sub> встановлено, що різну активність нанесених Mn-систем зумовлено характером розкладу прекурсора, складом нанесеної активної фази, її розподілом у поверхневому шарі носіїв, розміром кристалітів оксидів мангана, ступенем взаємодії їх із носіями і, як наслідок, різними за природою та кількістю активними центрами. Виявлено, що найвищу активність серед Mn-каталізаторів, сформованих до 500 °C, мають цеолітні системи Mn–ERI та Mn–ZSM-5, де утворюються високодисперсні наночастинки оксидів мангана, які характеризуються порівняно слабкою взаємодією з носієм і містять на поверхні найбільшу кількість активних центрів – катіонів мангана з високою здатністю до відновлення та високою реакційною здатністю в окисно-відновних циклах каталітичної реакції. Установлено, що в дослідженіх системах значну активність забезпечують наночастинки оксиду мангана Mn<sub>2</sub>O<sub>3</sub> з великою поверхневою рухомістю кисню.

Исследовано влияние условий формирования нанесенных марганецсодержащих наносистем на основе оксидных (Al<sub>2</sub>O<sub>3</sub>,

SiO<sub>2</sub>) и цеолитных (ERI, ZSM-5) носителей на их катализическую активность в реакции окисления CO. Методами ДТА, РФА, ТЭМ, ЭСДР и ТПВ-Н<sub>2</sub> установлено, что различная активность Mn-систем обуславливается характером разложения прекурсора, составом и распределением активной фазы в поверхностном слое носителей, размером наночастиц оксидов марганца, степенью их взаимодействия с носителями и, как следствие, разным количеством активных центров, имеющих высокую способность к восстановлению.

**Ключевые слова:** марганецсодержащие наносистемы, каталитическая активность, окисление CO

The influence of conditions formation of loaded Mn-containing nanosystems on the base of oxide (Al<sub>2</sub>O<sub>3</sub>, SiO<sub>2</sub>) and zeolite (ERI, ZSM-5) carriers on their catalytic activity in reaction of CO oxidation was investigated. By methods of DTA, XRD, TEM, ESDR and TPR-H<sub>2</sub> was established that the difference in activity of Mn-systems is determined by different character of precursor decomposition, composition and distribution of active phase in the surface carrier's layer, size of manganese oxides nanoparticles, intensity of their interaction of carriers and, as a result, by different quantity of active centers with high ability to reduction.

**Key words:** Mn-containing nanosystems, catalytic activity, CO oxidation

1. Шпак А.П., Кунцик Ю.А., Самойленко З.А. Самоорганизация структуры в материалах различной природы. – К.: Академпериодика, 2002. – 167 с.
2. Суздалев И.П., Суздалев П.И. Нанокластеры и нанокластерные системы. Организация, взаимодействие, свойства // Успехи химии. – 2001. – **70**, № 3. – С. 203–238.
3. Глинчук М.Д., Рагуля А.В. Наноферроиды. – К.: Haykova думка, 2010. – 321 с.
4. Yamazoe N. New approaches for improving semiconductor gas sensors // Sensors and Actuators B: Chemical. – 1991. – **5**, N 1–4. – P. 7–19.
5. Effect of treatments on gold nanoparticles: Relation between morphology, electron structure and catalytic activity in CO oxidation / L. Guczi, D. Horvath, Z. Paszti, G. Peto // Catalysis Today. – 2002. – **72**, N 1–2. – P. 101–105.
6. Alekseev O.S., Nosova L.V., Ryndin Yu.A. Formation and properties of dispersed Pd particles over graphite and diamond // New Frontiers in Catalysis: Proc. 10th Intern. Congr. Catal., Budapest (Hungary); Eds. Guczi L., Solymosi F., Tetenyi P. – Amsterdam: Elsevier, 1992. – P. 837–847.
7. Oleksenko L.P., Yatsimirsky V.K., Lutsenko L.V. Influence of preparation conditions of mixed-valence Con+/ZSM-5 zeolites on their adsorption and catalytic properties in CO oxidation // Adsorption Science and Technology. – 2002. – **20**, N 4. – P. 371–379.

8. *Vibrational spectroscopy of CO adsorbed on supported ultra-small transition metal particles and single metal atoms / M. Frank, R. Kühnemuth, M. Bäumer, H.-J. Freund // Surface Science.* – 2000. – **454–456**, N 1–3. – P. 968–973.
9. *Gracia F.J., Bollman L., Miller J.T. EXAFS, *in situ* FTIR, and CO oxidation activity of Pt supported catalysts: Effect of Cl and particle size on the state of the active surface // EuropaCat-VI: The European Catal. Forum, 2003. – Innsbruck (Austria), 2003. – P. 2056.*
10. *Holodets G.I. Heterogeneous catalytic reaction involving molecular oxygen. – Amsterdam: Elsevier Sc. Publ., 1983. – 567 p.*
11. *Лисичкин Г.В., Кудрявцев Г.В., Сердан А.А. Модифицированные кремнеземы в сорбции, катализе и хроматографии. – М.: Химия, 1986. – 248 с.*
12. *Лурье А.А. Сорбенты и хроматографические носители: Справочник. – М.: Химия, 1972. – 320 с.*
13. *Химическая энциклопедия: В 5 т. / Под ред. Н.С. Зефирова. – М.: БРЭ, 1999. – Т. 5. – 783 с.*
14. *Брек Д. Цеолитовые молекулярные сита. – М.: Мир, 1976. – 784 с.*
15. *Канцерова М.Р., Орлик С.Н., Казимиров В.П. Влияние структурно-размерного фактора на каталитические свойства кобальтциркониевых оксидных наночастиц в реакции глубокого окисления метана // Теор. и эксперимент. химия. – 2004. – **40**, № 4. – С. 238–244.*
16. *Роде Э.Я. Кислородные соединения марганца. – М.: Изд-во АН СССР, 1952. – 398 с.*
17. *Рипан Р. , Четяну И. Неорганическая химия: В 2 т. – М.: Мир, 1972. – Т. 2. – 871 с.*
18. *Weimin W., Yongnian Y., Jiayu Z. Preparation and characterization of alumina supported trimanganese tetroxide catalysts // Applied Catalysis A: General. – 1995. – N 131. – P. 189–206.*
19. *Liu Y., Luo M., Wei Z. Catalytic oxidation of chlorobenzene on supported manganese oxide catalysts // Applied Catalysis B: Environmental. – 2001. – N 29. – P. 61–67.*
20. *Powder diffraction file, Joint Committee on Powder Diffraction Standards, ASTM, Philadelphia, PA, 1974, N 21–1250.*
21. *Ливер Э. Электронная спектроскопия неорганических соединений: В 2 т. – М.: Мир, 1987. – Т. 2. – 445 с.*
22. *Марданова Н.М., Ахвердьев Р.Б., Талышинский Р.М. Окислениеmonoоксида углерода на катализаторе (Cu,Cr,Mn)/ $\gamma$ -Al<sub>2</sub>O<sub>3</sub> различного генезиса // Кинетика и катализ. – 1996. – **37**, № 1. – С. 90–95.*
23. *Кочубей Д.И., Кривенцов В.В., Кустова Г.Н. Исследование термоактивации алюмо-марганцевого катализатора дожигания методами ИК-, УФ-спектроскопии и EXAFS // Кинетика и катализ. – 1998. – **39**, № 2. – С. 294–301.*